

## · 临床研究 ·

# 术中呼气末二氧化碳分压对老年患者全麻术后认知功能障碍和 S100 $\beta$ 蛋白水平的影响

高彦东，艾伟，郭宇峰，刘斌，刘波，边步荣

榆林市第一医院麻醉科，山西 榆林 719000

**摘要：**目的 探讨术中呼气末二氧化碳分压( $P_{ET}CO_2$ )对老年患者术后认知功能障碍(POCD)发生和血清 S100 $\beta$ 蛋白水平的影响。方法 选择 2013 年 10 月至 2015 年 3 月行胃肠道手术的老年患者 130 例,采用随机数字表法分为两组,每组 65 例。低  $P_{ET}CO_2$  组(L 组): $P_{ET}CO_2$  维持在 35~40 mm Hg;高  $P_{ET}CO_2$  组(H 组): $P_{ET}CO_2$  值维持在 40~45 mm Hg。两组均于术后 24 h 行简易智力状况检查法(MMSE)评分,分析 POCD 发生情况。并于麻醉诱导前、手术 2 h、术毕、术后 2 h、术后 24 h 抽取外周血行酶联免疫吸附测定法检测两组患者血清中 S100 $\beta$  蛋白水平。结果 两组完成实验共 126 例,其中 L 组 62 例发生 POCD 16 例(25.8%),H 组 64 例发生 POCD 7 例(10.9%),L 组 POCD 发生率明显高于 H 组( $P < 0.05$ )。血清 S100 $\beta$  蛋白两组患者在手术 2 h、术毕和术后 2 h 均明显高于诱导前,L 组术毕、术后 2 h 和术后 24 h 血清 S100 $\beta$  蛋白水平显著高于 H 组( $P$  均  $< 0.05$ )。结论 术中  $P_{ET}CO_2$  值维持在 35~40 mm Hg 可能增加 POCD 的发生风险,使血清 S100 $\beta$  蛋白水平升高。提示血清 S100 $\beta$  蛋白可能作为一种血清学的指标预测 POCD 的发生。

**关键词：**术后认知功能障碍；呼气末二氧化碳分压；S100 $\beta$  蛋白；全身麻醉；老年；胃肠道手术

**中图分类号：**R 614.2 文献标识码：B 文章编号：1674-8182(2016)01-0087-03

术后认知功能障碍(postoperative cognitive dysfunction,POCD)是老年患者全身麻醉术后中枢神经系统出现的主要的常见并发症<sup>[1]</sup>,临床表现为认知能力和人格及社交能力等发生改变,延缓了患者的术后康复,甚至可引起严重的远期并发症。POCD 确切发病机制目前尚不清楚,研究认为其可能与患者年龄以及麻醉的深浅有关。呼气末二氧化碳分压( $P_{ET}CO_2$ )是反映全麻患者呼吸的重要指标,对患者维持内环境稳定起着重要的作用,术中  $P_{ET}CO_2$  与 POCD 发生的相关性未见文献报道,脑脊液或者血液中的 S100 $\beta$  蛋白水平是评估术后中枢神经系统功能的指标之一<sup>[2]</sup>。因此,本研究通过探讨全麻中不同的  $P_{ET}CO_2$  对 S100 $\beta$  蛋白水平和 POCD 发生的影响,为早期预防 POCD 的发生提供相关临床参考。

## 1 资料与方法

**1.1 一般资料** 选择 2013 年 10 月至 2015 年 3 月入住榆林市第一医院普通外科择期行胃肠道手术的老年患者 130 例,年龄  $> 65$  岁,BMI 18~25 kg/m<sup>2</sup>,American Society of Anesthesiologists(ASA) I 或 II 级。

经榆林市第一医院伦理委员会审查同意,并与患者签署知情同意书。入选标准:无神经或精神疾病史,无酗酒或药物依赖史,无手术史,无交流障碍及听、视觉障碍,无明显肝肾功能损害。采用随机数字表法均分为两组:低  $P_{ET}CO_2$  组(L 组),麻醉中将  $P_{ET}CO_2$  值维持在 35~40 mm Hg(1 mm Hg = 0.133 kPa);高  $P_{ET}CO_2$  组(H 组),麻醉中将  $P_{ET}CO_2$  值维持在 40~45 mm Hg。

**1.2 方法** 两组患者入室前无特殊用药。入室后持续监测血压(BP)、心率(HR)、心电图(ECG)、血氧饱和度(SpO<sub>2</sub>)、 $P_{ET}CO_2$  和脑电双频指数(BIS)值。麻醉诱导前 5 min 咪达唑仑 0.05 mg/kg 静脉滴注。麻醉诱导:两组依次静脉注射舒芬太尼 0.5 μg/kg、丙泊酚 1.5~2.5 mg/kg、维库溴铵 0.1 mg/kg。气管插管后行机械通气,按照  $P_{ET}CO_2$  值要求调整通气参数,L 组术中将  $P_{ET}CO_2$  值维持在 35~40 mm Hg,H 组术中将  $P_{ET}CO_2$  值维持在 40~45 mm Hg,设置潮气量(VT)8~10 ml/kg,呼吸率(RR)10~12 次/min,吸呼比为 1:2。麻醉维持:吸入 2.5~3.5% 七氟烷和静脉泵注瑞芬太尼 0.1~0.3 μg·kg<sup>-1</sup>·min<sup>-1</sup>;术中舒芬太尼、维库溴铵剂量按手术需要间断静脉推注,术中 BIS 值维持在 30~45,控制 HR 50~90 次/min,BP 控制在术前基础值的 80%~120%。苏醒期间不用任何拮抗药物,术后不使用镇静和精神类药物。所有患

者术后 48 h 内行自控静脉镇痛。镇痛泵配方为:舒芬太尼 2  $\mu\text{g}/\text{kg}$  + 托烷司琼 10 mg + 生理盐水至 100 ml。镇痛泵设定持续输注背景流量 2 ml/h, 每次 0.5 ml, 锁定时间 15 min。

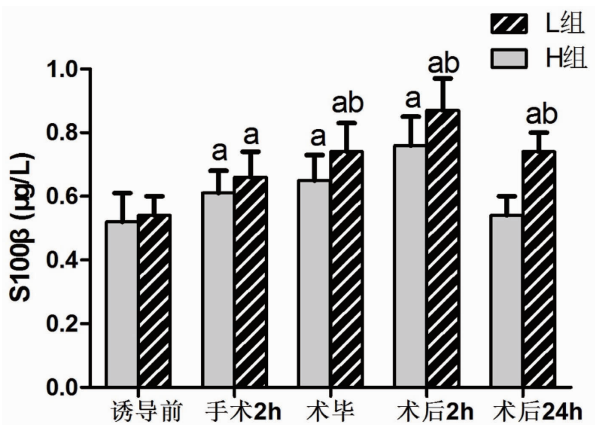
**1.3 检测指标** 观察两组患者术后 24 h POCD 发生率。根据 1975 年 Folstein 创建的简易智力状况检查法 (mini-mental state examination, MMSE) 量表筛查老年患者认知功能障碍程度。MMSE 量表总分 30 分, 27 分以上为正常, 27 分以下为 POCD, 其中 21 ~ 26 分为轻度, 10 ~ 20 分为中度, 0 ~ 9 分为重度。采用酶联免疫吸附测定法检测两组患者麻醉诱导前、手术 2 h、术毕、术后 2 h、术后 24 h 血清 S100 $\beta$  蛋白水平。

**1.4 统计学分析** 采用 SPSS 20.0 统计学软件进行分析。计量资料以  $\bar{x} \pm s$  表示, 组间比较采用两样本  $t$  检验, 不同时点组内比较采用重复测量方差分析及两两比较的 LSD- $t$  检验; 计数资料比较采用  $\chi^2$  检验。 $P < 0.05$  为差异有统计学意义。

## 2 结 果

**2.1 一般资料分析** 本研究 130 例患者中有 4 例中途退出, 共有 126 例患者完成了研究, 其中 L 组 62 例, H 组 64 例。两组患者一般资料及术前 MMSE 评分、手术时间、麻醉时间、拔管时间等差异无统计学意义 ( $P$  均  $> 0.05$ )。见表 1。

**2.2 术后 24 h POCD 发生与 MMSE 评分情况** 两组患者术后 24 h 进行 MMSE 评分分析 POCD 发生率。L 组 62 例发生 POCD 16 例 (25.8%), H 组 64 例



注: 与诱导前比较,<sup>a</sup> $P < 0.05$ ; 与 H 组比较,<sup>b</sup> $P < 0.05$ 。

图 1 两组患者不同时间点 S100 $\beta$  水平比较

表 3 两组患者不同时间点 S100 $\beta$  水平的比较 ( $\mu\text{g}/\text{L}, \bar{x} \pm s$ )

组别	例数	诱导前	手术 2 h	术毕	术后 2 h	术后 24 h
L 组	62	0.56 ± 0.03	0.68 ± 0.04 <sup>a</sup>	0.76 ± 0.05 <sup>ab</sup>	0.92 ± 0.07 <sup>ab</sup>	0.74 ± 0.03 <sup>ab</sup>
H 组	64	0.54 ± 0.06	0.62 ± 0.04 <sup>a</sup>	0.63 ± 0.05 <sup>a</sup>	0.71 ± 0.06 <sup>a</sup>	0.58 ± 0.02

注: 与诱导前比较,<sup>a</sup> $P < 0.05$ ; 与 H 组比较,<sup>b</sup> $P < 0.05$ 。

发生 POCD 7 例 (10.9%), L 组 POCD 发生率明显高于 H 组 ( $P < 0.05$ )。见表 2。

**2.3 血清 S100 $\beta$  蛋白水平比较** 两组患者诱导前血清 S100 $\beta$  水平比较无统计学差异 ( $P > 0.05$ ); 手术 2 h、术毕和术后 2 h 两组的血清 S100 $\beta$  蛋白显著高于诱导前, 但 H 组血清 S100 $\beta$  蛋白在术后 24 h 基本回到诱导前水平, 而 L 组仍高于诱导前水平 ( $P < 0.05$ )。L 组血清 S100 $\beta$  蛋白水平在术毕、术后 2 h 和术后 24 h 显著高于 H 组 ( $P$  均  $< 0.05$ )。见图 1、表 3。

## 3 讨 论

POCD 是老年患者术后常见的并发症, 其危害性已逐渐受到临床医师的重视, 早期干预降低 POCD 的发生非常必要。但是 POCD 的发病机制还不是十分清楚, 目前的研究认为 POCD 的发生可能与麻醉药物抑制海马区的 N-甲基-D-天冬氨酸 (NMDA) 受体而抑制了长时程增强作用 (LTP) 有关<sup>[3-4]</sup>, 也有研究认为与  $\beta$  淀粉样蛋白沉积有关<sup>[5]</sup>, 亦或与神经元型一氧化氮合酶及高迁移率族蛋白 1 高表达等有关<sup>[6]</sup>。

有文献认为 POCD 的发生也与胶质细胞介导的炎性反应相关, 而且越来越被人们所重视。已有大量研究证实, 无论是单纯麻醉还是麻醉合并手术, 均能

表 1 两组患者一般资料及术中情况的比较

指标	L 组 ( $n=62$ )	H 组 ( $n=64$ )
年龄(岁, $\bar{x} \pm s$ )	71.2 ± 5.3	72.8 ± 6.1
男/女(例)	38/24	35/29
BMI ( $\text{kg}/\text{m}^2, \bar{x} \pm s$ )	23.2 ± 3.8	22.6 ± 4.3
受教育年限(年, $\bar{x} \pm s$ )	6.7 ± 1.2	5.9 ± 2.6
ASA I / II 级(例)	19/43	20/44
术前 MMSE(分, $\bar{x} \pm s$ )	26.4 ± 2.4	25.9 ± 1.8
胃癌/直肠癌/结肠癌(例)	17/21/24	16/26/22
手术时间(min, $\bar{x} \pm s$ )	196.4 ± 46.7	187.7 ± 52.4
麻醉时间(min, $\bar{x} \pm s$ )	208.3 ± 40.2	201.2 ± 49.6
拔管时间(min, $\bar{x} \pm s$ )	20.8 ± 9.6	18.8 ± 10.5

表 2 两组患者术后 24 h POCD 发生与 MMSE 评分情况的比较 例 (%)

组别	例数	MMSE 评分				POCD 发生
		正常	轻度	中度	重度	
L 组	62	46(74.2)	9(14.5)	5(8.1)	2(3.2)	16(25.8) <sup>a</sup>
H 组	64	57(89.1)	4(6.2)	2(3.1)	1(1.6)	7(10.9)

注: 与 H 组比较,<sup>a</sup> $P < 0.05$ 。

造成大鼠脑内炎性细胞因子的增加,如白细胞介素 1 $\beta$ (IL-1 $\beta$ )、肿瘤坏死因子 $\alpha$ (TNF- $\alpha$ )、胶质细胞等,尤其是海马部位更为明显<sup>[7-10]</sup>,并同时伴有认知功能的下降。Jin 等<sup>[11]</sup>发现小鼠 POCD 与星形胶质细胞的活化也显著相关,且该作用可被星状胶质细胞活化抑制剂米诺环素所抑制。血清 S100 $\beta$  蛋白是一种酸性钙结合蛋白,主要存在于中枢神经系统星状神经胶质细胞液中,可影响胶质细胞生长分化,维持血钙稳定,当中枢神经系统受损伤后,S100 $\beta$  蛋白会从细胞液中进入脑脊液,再经受损的血脑屏障进入人体血液循环。因此,血清中 S100 $\beta$  蛋白的水平可以反映胶质细胞的活化水平,进一步也可反映患者 POCD 的发生情况<sup>[12-14]</sup>。本研究中,两组患者在手术 2 h、术毕和术后 2 h 的血清 S100 $\beta$  蛋白均显著高于诱导前,而 H 组在术后 24 h 血清 S100 $\beta$  蛋白又恢复到诱导前水平,这与先前的研究结果是一致的。

本研究中 L 组 POCD 发生率为 25.8%,H 组为 10.9%,L 组显著高于 H 组。另外,在术毕、术后 2 h 和术后 24 h L 组血清 S100 $\beta$  蛋白水平显著高于 H 组。目前尚缺乏相似报道,这可能与 CO<sub>2</sub> 对脑循环的调节有关。有研究报道清醒人过度通气时,动脉血二氧化碳分压(PaCO<sub>2</sub>)每降低 1 mm Hg,脑血流量(CBF)相应减少 0.9 ml·100 g<sup>-1</sup>·min<sup>-1</sup>。值得注意的是 1% 氟烷麻醉时,CBF 下降幅度可增至 2 ml·100 g<sup>-1</sup>·min<sup>-1</sup>·mm Hg CO<sub>2</sub><sup>-1</sup><sup>[15-16]</sup>。另外,过度通气除了减少 CBF 外,还可造成碱血症使氧离曲线左移进一步限制向脑组织供氧<sup>[15]</sup>。因此,当 L 组的 PaCO<sub>2</sub> 比 H 组低时,使得 L 组中患者脑组织相应地缺血缺氧,进一步加重了脑损伤,脑胶质细胞中的 S100 $\beta$  蛋白释放入血,也使得 POCD 发生率增加。本研究的不足之处是未监测两组患者血气分析指标,进而阐述 PaCO<sub>2</sub> 与血 pH 值及 POCD 的关系,需要在今后的研究中进一步探讨。

综上所述,老年患者全身麻醉术中 P<sub>ET</sub>CO<sub>2</sub> 值维持在 35~40 mm Hg 可能比维持在 40~45 mm Hg 时增加脑组织缺血缺氧,加重脑损伤,使血清中的 S100 $\beta$  蛋白水平升高。增加 POCD 发生风险。提示血清 S100 $\beta$  蛋白水平有可能作为一种血清学的指标预测 POCD 的发生。

## 参考文献

- [1] Rasmussen LS, Christiansen M, Rasmussen H, et al. Do blood concentrations of neurone specific enolase and S-100 protein reflect

- cognitive dysfunction after abdominal surgery? ISPOCD Group [J]. Br J Anaesth, 2000, 84(2): 242~244.
- [2] Rasmussen LS, Christiansen M, Hansen PB, et al. Do blood levels of neuron-specific enolase and S-100 protein reflect cognitive dysfunction after coronary artery bypass? [J]. Acta Anaesthesiol Scand, 1999, 43(5): 495~500.
- [3] Tang WK, Liang HJ, Lau CG, et al. Relationship between cognitive impairment and depressive symptoms in current ketamine users [J]. J Stud Alcohol Drugs, 2013, 74(3): 460~468.
- [4] Piao MH, Liu Y, Wang YS, et al. Volatile anesthetic isoflurane inhibits its LTP induction of hippocampal CA1 neurons through  $\alpha$ 4 $\beta$ 2 nAChR subtype-mediated mechanisms [J]. Ann Fr Anesth Reanim, 2013, 32(10): e135~e141.
- [5] Evered LA, Silbert BS, Scott DA, et al. Plasma amyloid  $\beta$ 42 and amyloid  $\beta$ 40 levels are associated with early cognitive dysfunction after cardiac surgery [J]. Ann Thorac Surg, 2009, 88(5): 1426~1432.
- [6] He HJ, Wang Y, Le Y, et al. Surgery upregulates high mobility group box-1 and disrupts the blood-brain barrier causing cognitive dysfunction in aged rats [J]. CNS Neurosci Ther, 2012, 18(12): 994~1002.
- [7] Wang Y, He H, Li D, et al. The role of the TLR4 signaling pathway in cognitive deficits following surgery in aged rats [J]. Mol Med Rep, 2013, 7(4): 1137~1142.
- [8] Li ZQ, Rong XY, Liu YJ, et al. Activation of the canonical nuclear factor-kappaB pathway is involved in isoflurane-induced hippocampal interleukin-1beta elevation and the resultant cognitive deficits in aged rats [J]. Biochem Biophys Res Commun, 2013, 438(4): 628~634.
- [9] 张静,田鸣.老年患者术后认知功能障碍病理生理机制的研究进展[J].国际麻醉学与复苏杂志,2011,32(1):78~81.
- [10] Fidalgo AR, Cibelli M, White JP, et al. Systemic inflammation enhances surgery-induced cognitive dysfunction in mice [J]. Neurosci Lett, 2011, 498(1): 63~66.
- [11] Jin WJ, Feng SW, Feng Z, et al. Minocycline improves postoperative cognitive impairment in aged mice by inhibiting astrocytic activation [J]. Neuroreport, 2014, 25(1): 1~6.
- [12] 章放香,宁俊平,邱冰,等.不同麻醉老年患者术后认知功能障碍发生的比较[J].中华麻醉学杂志,2013,33(2):188~190.
- [13] 黎达锋,曾秋谷,梁华娜,等. Narcotrend 脑电监测不同麻醉深度对全麻患者 POCD 发生和 S100 $\beta$  蛋白水平影响的临床分析 [J]. 医学综述,2014,20(15):2851~2853.
- [14] 陈佳,全承炫,汤观秀,等. 麻醉深度对中老年患者术后认知功能及外周血高迁移率族蛋白 B1 的影响 [J]. 临床麻醉学杂志, 2015, 31(3): 238~242.
- [15] 稽晴,李德馨,徐建国. CO<sub>2</sub> 与脑循环 [J]. 临床麻醉学杂志, 1999, 15(1): 32~34.
- [16] Matta BF, Lam AM, Mayberg TS, et al. Cerebrovascular response to carbon dioxide during sodium nitroprusside-and isoflurane-induced hypotension [J]. Br J Anaesth, 1995, 74(3): 296~300.

收稿日期:2015-08-26 修回日期:2015-09-07 编辑:周永彬